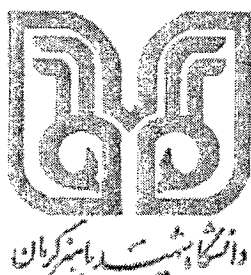


بِسْمِ اللّٰهِ الرَّحْمٰنِ الرَّحِيْمِ

١٠٨٢٩٦



دانشکده فنی و مهندسی
گروه مهندسی مکانیک

پایان نامه تحصیلی برای دریافت درجه کارشناسی ارشد مکانیک

طراحی منعکس کننده برای آبگرمکن خورشیدی کلکتور - منبع ذخیره یکپارچه
توسط مجموعه آینه های تخت با استفاده از الگوریتم ژنتیک

استاد راهنما :

دکتر محمد رهنما

مؤلف :

مهندی مصطفیزاده ابراهیمی

۱۳۸۷ / ۹ / ۲۳

بهمن ماه ۱۳۸۶



دانشگاه شهید باهنر کرمان

این پایان نامه

به عنوان یکی از شرایط احراز درجه کارشناسی ارشد به

گروه مکانیک

دانشکده فنی و مهندسی

دانشگاه شهید باهنر کرمان

تسلیم شده است و هیچ گونه مدرکی به عنوان فراغت از تحصیل دوره مزبور شناخته نمی شود.

دانشجو: آقای مهدی مصطفی زاده ابراهیمی

ازطرف

استاد راهنمای: آقای دکتر محمد رهمنا

داور ۱: آقای دکتر سید حسین منصوری

داور ۲: آقای دکتر مظفر علی مهرابیان

داور ۳:

استاد مشاور: آقای دکتر مهران عامری

معاونت پژوهشی و تحصیلات تکمیلی یا نماینده دانشکده: آقای دکتر مهران عامری

حق چاپ محفوظ و مخصوص به (دانشجو) است

(ج)

تقدیم به همسر و خانواده عزیزم

با تشکر و سپاس فراوان از زحمات استاد گرانقدرم جناب آقای دکتر محمد رهنما و دوست عزیزم جناب آقای عبدالعلی مومنایی که در انجام این پایان نامه مرا یاری نمودند.

فهرست مندرجات

VI	چکیده
VII	فهرست مندرجات
X	فهرست شکلها
XV	فهرست جدولها
1	فصل ۱ مقدمه
۵	فصل ۲ سیستم‌های آبگرمکن خورشیدی کلکتور- منبع ذخیره یکپارچه
۵	۱-۲ تاریخچه سیستم‌های ICS
۶	۲-۲ زمینه های تحقیقاتی بر روی سیستم‌های ICS
۶	۳-۲ منبع
۷	۱-۳-۲ شکل و اندازه منبع
۸	۲-۳-۲ پیکربندی و ارتباط منبعها
۹	۳-۳-۲ شب و جهت قرار گرفتن منبعها
۱۰	۴-۳-۲ جنس منبع
۱۱	۴-۲ روکش دهانه ورودی سیستم (Glazing)
۱۱	۵-۲ منعکس کننده ها

فصل ۳ شبیه سازی کامپیوتري سیستمهای ICS

۱۴	روش پیمایش نور	۱-۳
۱۵	معرفی سیستمهای ICS	۲-۳
۱۹	استفاده از روش پیمایش نور برای شبیه سازی سیستمهای ICS	۳-۳
۲۶	محاسبه نمودارها بر اساس موقعیت خورشید و شدت نور در طول روز	۴-۳
۲۹	استفاده از آینه شبیه ای منحنی به جای منعکس کننده فلزی منحنی	۵-۳
۳۲	استفاده از چند منعکس کننده تخت به جای منحنی منعکس کننده	۶-۳
۴۳	بررسی نتایج	۷-۳

۴۵	طراحی منعکس کننده با آینه های تخت توسط الگوریتم ژنتیک	فصل ۴
۴۵	مروری بر الگوریتم ژنتیک	۱-۴
۴۶	تصادفی بودن	۱-۱-۴
۴۶	جمعیت	۲-۱-۴
۴۶	ترکیب	۳-۱-۴
۴۶	جهش	۴-۱-۴
۴۷	انتخاب	۵-۱-۴
۴۷	شرط توقف الگوریتم ژنتیک	۶-۱-۴
۴۷	طراحی الگوریتم ژنتیک برای بهینه سازی منعکس کننده	۲-۴
۴۷	محدودیت اعمال شده و مدلسازی ساختار منعکس کننده	۱-۲-۴
۴۹	ساختار جمعیتی	۲-۲-۴
۴۹	انتخاب جمعیت اولیه	۳-۲-۴
۴۹	تابع معیار	۴-۲-۴
۵۰	انتخاب والدین	۵-۲-۴
۵۰	ترکیب	۶-۲-۴
۵۱	جهش	۷-۲-۴
۵۲	شرط توقف الگوریتم	۸-۲-۴

۳-۴ بررسی نتایج الگوریتم زنتیک

۵۲

۵۷

۵۹

فصل ۵ نتیجه گیری و پیشنهادات برای کارهای آینده

فهرست مراجع

فهرست شکلها

- | | | |
|---|---|-----|
| ۱۱ | خلاصه ای از مکانیزم انتقال حرارت در ICS | ۱-۲ |
| ۱۲ | شکل مقطع یک نمونه آبگرمکن خورشیدی با منبع دو تابی بررسی شده در [۴] | ۲-۲ |
| ۱۳ | نمونه های مختلفی از آبگرمکن خورشیدی ICS بررسی شده در [۳-۹] | ۳-۲ |
| فرمول و شکل منحنی منعکس کننده سیستم ICS ₁ با هندسه Involute و زاویه دریافت 180° | | ۱-۳ |
| ۱۶ | فرمول و شکل منحنی منعکس کننده سیستم ICS ₂ با هندسه CPC و زاویه دریافت 90° | ۲-۳ |
| ۱۷ | فرمول و شکل منحنی منعکس کننده سیستم ICS ₂ با هندسه CPC و زاویه دریافت 60° | ۳-۳ |
| ۱۸ | نمایش برخورد و انعکاس شعاعهای نور تابیده شده به سیستم ICS ₁ با زاویه های تابش مختلف | ۴-۳ |
| ۲۰ | نمایش برخورد و انعکاس شعاعهای نور تابیده شده به سیستم ICS ₂ با زاویه های تابش مختلف | ۵-۳ |
| ۲۱ | نمایش برخورد و انعکاس شعاعهای نور تابیده شده به سیستم ICS ₃ با زاویه های تابش مختلف | ۶-۳ |
| ۲۲ | درصد جذب انرژی بر حسب زاویه برای منبع ذخیره و منعکس کننده و همچنین انرژی شعاعهای نور خارج شده برای سیستم ICS ₁ با منعکس کننده فلزی | ۷-۳ |

- درصد جذب انرژی بر حسب زاویه برای منبع ذخیره و منعکس کننده و همچنین
انرژی شعاعهای نور خارج شده برای سیستم ICS² با منعکس کننده فلزی ۸-۳
- ۲۵ درصد جذب انرژی بر حسب زاویه برای منبع ذخیره و منعکس کننده و همچنین
انرژی شعاعهای نور خارج شده برای سیستم ICS³ با منعکس کننده فلزی ۹-۳
- ۲۵ زاویه قرار گرفتن خورشید نسبت به سطح افق در هر ساعت از روز
شدت نور وارد شده به سیستم در هر ساعت از روز که حاصل ضرب نمودار شدت
نور عمود بر سطح خورشید در کسینوس زاویه تابش با خط عمود بر سطح ورودی
سیستم میباشد. ۱۰-۳
- ۲۷ توان تابشی وارد شده به سیستم، توان جذب شده توسط منبع و درصد جذب انرژی
منبع در طول روز برای سیستم ICS¹ با منعکس کننده فلزی ۱۱-۳
- ۲۸ توان تابشی وارد شده به سیستم، توان جذب شده توسط منبع و درصد جذب انرژی
منبع در طول روز برای سیستم ICS² با منعکس کننده فلزی ۱۲-۳
- ۲۸ توان تابشی وارد شده به سیستم، توان جذب شده توسط منبع و درصد جذب انرژی
منبع در طول روز برای سیستم ICS³ با منعکس کننده فلزی ۱۳-۳
- ۲۹ درصد جذب انرژی بر حسب زاویه برای منبع ذخیره و منعکس کننده و همچنین
انرژی شعاعهای نور خارج شده برای سیستم ICS¹ با منعکس کننده آینه شیشه ای ۱۴-۳
- ۳۰ درصد جذب انرژی بر حسب زاویه برای منبع ذخیره و منعکس کننده و همچنین
انرژی شعاعهای نور خارج شده برای سیستم ICS² با منعکس کننده آینه شیشه ای ۱۵-۳
- ۳۱ درصد جذب انرژی بر حسب زاویه برای منبع ذخیره و منعکس کننده و همچنین
انرژی شعاعهای نور خارج شده برای سیستم ICS³ با منعکس کننده آینه شیشه ای ۱۶-۳
- ۳۱ نمایش برخورد و انعکاس شعاعهای نور تابیده شده به سیستم ICS¹ با منعکس کننده
۱۰ تکه با زاویه های تابش مختلف ۱۷-۳
- ۳۳ نمایش برخورد و انعکاس شعاعهای نور تابیده شده به سیستم ICS² با منعکس کننده
۱۰ تکه با زاویه های تابش مختلف ۱۸-۳
- ۳۴ نمایش برخورد و انعکاس شعاعهای نور تابیده شده به سیستم ICS³ با منعکس کننده
۱۰ تکه با زاویه های تابش مختلف ۱۹-۳
- ۳۵

- ۲۱-۳ درصد جذب انرژی بر حسب زاویه برای منبع ذخیره و منعکس کننده و همچنین
انرژی شعاعهای نور خارج شده برای سیستم ICS1 با منعکس کننده ۱۰ تکه آینه
تخت فلزی ۳۷
- ۲۲-۳ درصد جذب انرژی بر حسب زاویه برای منبع ذخیره و منعکس کننده و همچنین
انرژی شعاعهای نور خارج شده برای سیستم ICS1 با منعکس کننده ۵۰ تکه آینه
تخت فلزی ۳۷
- ۲۳-۳ درصد جذب انرژی بر حسب زاویه برای منبع ذخیره و منعکس کننده و همچنین
انرژی شعاعهای نور خارج شده برای سیستم ICS1 با منعکس کننده ۱۰ تکه آینه
تخت شیشه ای ۳۸
- ۲۴-۳ درصد جذب انرژی بر حسب زاویه برای منبع ذخیره و منعکس کننده و همچنین
انرژی شعاعهای نور خارج شده برای سیستم ICS1 با منعکس کننده ۵۰ تکه آینه
تخت شیشه ای ۳۸
- ۲۵-۳ درصد جذب انرژی بر حسب زاویه برای منبع ذخیره و منعکس کننده و همچنین
انرژی شعاعهای نور خارج شده برای سیستم ICS2 با منعکس کننده ۱۰ تکه آینه
تخت فلزی ۳۹
- ۲۶-۳ درصد جذب انرژی بر حسب زاویه برای منبع ذخیره و منعکس کننده و همچنین
انرژی شعاعهای نور خارج شده برای سیستم ICS2 با منعکس کننده ۵۰ تکه آینه
تخت فلزی ۴۰
- ۲۷-۳ درصد جذب انرژی بر حسب زاویه برای منبع ذخیره و منعکس کننده و همچنین
انرژی شعاعهای نور خارج شده برای سیستم ICS2 با منعکس کننده ۱۰ تکه آینه
تخت شیشه ای ۴۰
- ۲۸-۳ درصد جذب انرژی بر حسب زاویه برای منبع ذخیره و منعکس کننده و همچنین
انرژی شعاعهای نور خارج شده برای سیستم ICS2 با منعکس کننده ۵۰ تکه آینه
تخت شیشه ای ۴۱
- ۲۹-۳ درصد جذب انرژی بر حسب زاویه برای منبع ذخیره و منعکس کننده و همچنین
انرژی شعاعهای نور خارج شده برای سیستم ICS3 با منعکس کننده ۱۰ تکه آینه

		تخت فلزی
۳۰	۳	درصد جذب انرژی بر حسب زاویه برای منبع ذخیره و منعکس کننده و همچنین انرژی شعاعهای نور خارج شده برای سیستم ICS³ با منعکس کننده ۵۰ تکه آینه
۴۱		تخت فلزی
۳۱	۳	درصد جذب انرژی بر حسب زاویه برای منبع ذخیره و منعکس کننده و همچنین انرژی شعاعهای نور خارج شده برای سیستم ICS³ با منعکس کننده ۱۰ تکه آینه
۴۲		تخت شیشه ای
۳۲	۳	درصد جذب انرژی بر حسب زاویه برای منبع ذخیره و منعکس کننده و همچنین انرژی شعاعهای نور خارج شده برای سیستم ICS³ با منعکس کننده ۵۰ تکه آینه
۴۲		تخت شیشه ای
۳۳	۳	توان جذب شده در ساعات روز (به ازاء هر متر مربع از دهانه سیستم) توسط منبع آبگرم برای چند سیستم ICS با منعکس کننده های مختلف
۴۴		نمونه ای از یک آینه ۱۰ تکه که با اتصال نقاط آینه ۵۰۰ تکه ساخته شده است. نقطه ابتدایی با شماره ۰ و نقطه انتهایی با شماره ۵۰۰ مشخص شده اند و شماره ۹ نقطه اتصال وسط نیز در کنار آنها مشخص شده است.
۴۸		روش اول ترکیب عبارت از انتخاب ۹ عضو از بین ۱۸ عضو والدین به طور تصادفی و با توزیع یکنواخت.
۵۰		روش دوم ترکیب عبارت از میانگین گرفتن از دو عضو متناظر در دو مجموعه والد و حذف قسمت اعشاری عدد حاصل.
۵۱		روش اول جهش که یکی از عضوهای جواب (زیرمجموعه ۹ عضوی) به طور کاملاً تصادفی حذف میشود و یک عضو از اعداد بین ۱ تا ۴۹۹ که در زیرمجموعه وجود ندارد به آن اضافه میشود.
۵۱		روش دوم جهش که هر عضو از ۹ عضو یک جواب به اندازه یک عدد تصادفی کوچک با توزیع نرمال تغییر میکند و نتیجه حاصل گرد میشود.
۵۲		نمودار میزان کل انرژی جذب شده توسط منبع در طول روز برای بهترین جواب هر جمعیت که تکامل جمعیت الگوریتم ژنتیک و همگرا شدن به جواب بهینه را نشان

میدهد.

- منعکس کننده های بهینه به دست آمده در طول الگوریتم ژنتیک به همراه عددهای مربوط به نقاط اتصال از آینه ۵۰۰ تکه ۷-۴
- (ادامه) منعکس کننده های بهینه به دست آمده در طول الگوریتم ژنتیک به همراه عددهای مربوط به نقاط اتصال از آینه ۵۰۰ تکه ۷-۴
- نمودار توان جذب شد توسط منبع آبگرم در ساعت روز (به ازاء هر متر مربع از دهانه سیستم) برای سیستم ICS با منعکس کننده های بهینه به دست آمده در طول الگوریتم ژنتیک ۸-۴
- نمودار کل انرژی جذب شده در طول روز توسط منبع آبگرم برای سیستم ICS با منعکس کننده های بهینه به دست آمده در طول الگوریتم ژنتیک ۹-۴

فهرست جدولها

- | | |
|-----|---|
| ۱-۳ | درصد انرژی جذب شده توسط منبع ذخیره و منعکس کننده و همچنین انرژی
شعاعهای خارج شده از دستگاه برای سیستم ICS۱ با زاویه های تابش مختلف |
| ۲-۳ | درصد انرژی جذب شده توسط منبع ذخیره و منعکس کننده و همچنین انرژی
شعاعهای خارج شده از دستگاه برای سیستم ICS۲ با زاویه های تابش مختلف |
| ۳-۳ | درصد انرژی جذب شده توسط منبع ذخیره و منعکس کننده و همچنین انرژی
شعاعهای خارج شده از دستگاه برای سیستم ICS۳ با زاویه های تابش مختلف |
| ۴-۳ | کل انرژی جذب شده بر حسب MJ/m^2 در طول روز توسط منبع و منعکس کننده و
انرژی خارج شده از سیستمهای ICS |
| ۵-۳ | کل انرژی جذب شده در طول روز توسط منبع آبگرم و منعکس کننده و همچنین
انرژی خارج شده از دستگاه و درصد کل جذب انرژی خورشیدی برای چند سیستم
ICS با منعکس کننده های مختلف |
| ۱-۴ | کل انرژی جذب شده در طول روز توسط منبع آبگرم و درصد جذب انرژی خورشیدی
سیستم ICS با منعکس کننده های بهینه به دست آمده در طول الگوریتم ژنتیک |

چکیده

در این پایان نامه روشی برای شبیه سازی آبگرمکنهاخورشیدی کلکتور- منبع ذخیره یکپارچه توسط کامپیوتر با استفاده از الگوریتم پیمایش نور، ارائه شده است. در این روش انعکاسهای متواالی دسته ای از شعاعهای نور خورشید تابیده شده به سیستم و میزان انرژی منتقل شده در هر انعکاس محاسبه میشود. با در نظر داشتن اطلاعات جغرافیایی محل دستگاه و استفاده از فرمولهای مربوط به شدت نور و موقعیت خورشید در طول روز، میزان جذب انرژی توسط منبع آبگرم، منعکس کننده و شعاعهای خارج شده از سیستم در هر ساعت از روز به دست آمد. با انتگرالگیری از این نمودار میزان کل انرژی جذب شده توسط سیستم محاسبه شد که معیار مناسبی برای مقایسه عملکرد دستگاه های ICS مختلف است.

از این روش شبیه سازی برای آبگرمکنهاخورشیدی کلکتور- منبع ذخیره یکپارچه با منعکس کننده های پیچدار و سهمی مرکب با زاویه های دریافت مختلف استفاده شد. همچنین تاثیر ضریب انعکاس . منعکس کننده بر روی عملکرد این سیستمهای مورد بررسی قرار گرفت. نتایج شبیه سازیها نشان میدهد که افزایش میزان جذب انرژی توسط منبع با ضریب انعکاس منعکس کننده رابطه مستقیم دارد. همچنین استفاده از تعدادی آینه شبیه ای تخت به جای ورقه فلزی در منحنی منعکس کننده با تقریب منحنی با ۵۰ تکه و ۱۰ تکه، شبیه سازی شد. بهبود قابل ملاحظه در عملکرد سیستم با استفاده از ۵۰ تکه آینه تخت به دست آمد. اما تقریب ساده ۱۰ تکه از منحنی با آینه های شبیه ای تخت مقداری از کارایی سیستم را کاهش میدهد ولی به علت ضریب انعکاس بالای آینه شبیه ای نسبت به منعکس کننده فلزی، کارایی سیستم تقریبا مانند حالت اولیه با منعکس کننده منحنی فلزی باقی میماند.

سپس با استفاده از الگوریتم ژنتیک، اندازه و ساختار قرار گرفتن ۱۰ تکه آینه تخت شبیه ای به منظور افزایش کل انرژی جذب شده در طول روز، بهینه سازی شد. شبیه سازی این ساختار طراحی شده توسط الگوریتم ژنتیک نشان میدهد که منبع آبگرم این سیستم ۷ درصد بیشتر از سایر سیستمهای بررسی شده با منعکس کننده فلزی، در طول روز انرژی جذب میکند. در ضمن استفاده از آینه های شبیه ای تخت دارای مزایایی از قبیل کم هزینه بودن ساخت، تولید انبوه و حمل و نقل ساده تر نسبت به سیستمهای با منعکس کننده های منحنی فلزی میباشد.

فصل ۱

مقدمه

خورشید حدود ۵ بیلیون سال است که به طور ثابت از خود انرژی ساطع میکند و اختر شناسان ادامه این امر را برای ۵ بیلیون سال دیگر نیز تخمین میزنند. اما تنها بخش کوچکی از تشعشع خورشید (۱ بخش از ۲ بیلیون) به زمین میرسد و زمین در بالای جو $10^{15} \times 174$ وات انرژی تشعشعی خورشید را دریافت میکند. هنگامی که تابش خورشید به جو برخورد میکند ۶ درصد تابش منعکس و ۱۶ درصد آن جذب لایه بالای جو میشود. پس از آن شرایط عادی آتمسفری (اب، گرد و غبار، آلودگیها) ۲۰ درصد از تابش رد شده از جو را از طریق انعکاس و ۳ درصد آن را از طریق جذب کاهش میدهد. این شرایط آتمسفری نه تنها میزان انرژی رسیده به زمین را کاهش میدهد، بلکه حدود ۲۰ درصد از نور رسیده را پراکنده میسانند (Diffuse) و قسمتهایی از طیف فرکانسی آنرا فیلتر میکنند. بعد از گذشتن از جو تقریباً نیمی از انرژی تابش در طیف فرکانسی مرئی و نیم دیگر آن در طیف فرکانسی نامرئی مادون قرمز میباشد (بخش کوچکی از انرژی در طیف فرکانسی ماوراء بنفش است).

مشکلات بزرگی که در راه استفاده از این انرژی قرار می گیرند، به دو دسته تقسیم میشوند: الف- انرژی تشعشعی خورشید به صورت متناوب و دوره ای به سطح زمین میرسد. ب- برای جذب یک میزان قابل قبول از انرژی، به سطح وسیعی نیاز است. با توجه به این مشکلات، روش‌های مختلفی برای استفاده از انرژی خورشیدی تا کنون مورد استفاده قرار گرفته است [۱].

از عمدۀ ترین کاربردهای انرژی حرارتی خورشید در حال حاضر گرم کردن استخرهای شنا، گرم کردن آب برای مصارف خانگی، خشک کردن محصولات کشاورزی و گرم کردن فضای داخلی ساختمانها میباشد. کاربرد سیستم آب گرم خورشیدی در منازل مسکونی طی چند سال اخیر رواج زیادی یافته است. معمولاً از آبگرمکن‌های خورشیدی برای گرم کردن یا پیش گرمایش آب استفاده میشود که به واسطه آن مصرف وسائل گاز سوز یا الکتریکی به منظور تولید آب گرم کاهش پیدا میکند. میتوان

سیستم‌های آبگرمکن خورشیدی را به دو دسته که دارای پمپ گردش سیال و سیستم کنترل (Active) و دسته‌ای که قادر این سیستم‌ها هستند (Passive) تقسیم کرد [۱].

سیستم‌های Active شامل سه دسته اصلی مستقیم (Direct)، غیر مستقیم (Indirect) و برگشتی (Drain Back) می‌باشند. آبگرمکن‌های خورشیدی از یک کلکتور خورشیدی برای جذب انرژی خورشید و یک منبع برای ذخیره سازی آب گرم تشکیل شده‌اند. در سیستم‌های مستقیم، آب آشامیدنی به طور مستقیم داخل کلکتور گردش می‌کند. زمانی که دمای کلکتور بیشتر از تانک ذخیره است پمپ باعث گردش آب از داخل منبع ذخیره به کلکتور می‌شود. سیستم‌های مستقیم عموماً برای آب و هوایی که منجر به یخ زدگی سیستم یا جاهایی که آب سنگین یا اسیدی دارند، توصیه نمی‌شوند. برای جاهایی که حفاظت سیستم در برابر یخ زدگی مهم می‌باشد، سیستم‌های پیشنهادی می‌توانند به صورت غیر مستقیم (با مدار بسته) یا برگشتی باشند.

سیستم‌های غیر مستقیم در کلکتور از سیال پروپیلن گلیکول برای انتقال حرارت استفاده می‌کنند. دمای پایین انجام پروپیلن گلیکول از یخ زدگی سیستم جلوگیری می‌کند و امکان استفاده از سیستم‌های خورشیدی در جاهایی که مدت زمان بیشتری را در شرایط زیر صفر درجه سانتیگراد به سر می‌برند را فراهم می‌کند. سیستم‌های غیر مستقیم برای جلوگیری از جریان معکوس ترموسیفون (Thermo-Siphon) در شب به یک شیر یکطرفه احتیاج دارند.

سیستم‌های برگشتی از آب به عنوان سیال انتقال دهنده حرارت استفاده می‌کنند. برای جلوگیری از خطر یخ زدگی هنگامی که دمای کلکتور کمتر از دمای تانک می‌شود پمپ خاموش می‌شود و آب داخل سیستم به منبع ذخیره برگشت می‌کند. سپس فضای داخل کلکتور توسط هوا پر می‌شود و از یخ زدگی سیستم را محافظت می‌کند. برای هر دو سیستم غیر مستقیم و برگشتی، چرخه سیالی که انرژی خورشید را جذب می‌کند به طور بسته با آبی که در تانک ذخیره وجود دارد تبادل حرارت می‌کند. بدین ترتیب، سیستمها از آب آشامیدنی که مورد مصرف خانگی قرار می‌گیرد، جدا می‌شوند.

سیستم‌های Passive به دو دسته ترموسیفون (Thermo-Siphon) و کلکتور- منبع ذخیره یکپارچه (Integral Collector Storage) ICS تقسیم می‌شوند. سیستم ترموسیفون از خاصیت بالا رفتن آب در زمانیکه گرم می‌شود (کاهش چگالی)، استفاده می‌کند: در این سیستم یک تانک ذخیره در ارتفاعی بالاتر از کلکتور نصب می‌شود. هنگامیکه آب حرارت می‌بیند، سبکتر می‌شود و به طور طبیعی به طرف بالاترین نقطه داخل منبع ذخیره جریان می‌یابد. آب سرددتر از پایین منبع از طریق لوله‌ها به طرف پایین ترین نقطه کلکتور جریان پیدا می‌کند و یک گردش طبیعی در سیستم بوجود می‌آید. به محضی که دمای داخل کلکتور از دمای داخل تانک ذخیره کمتر شود گردش در سیستم متوقف می‌شود. این امر از انتقال حرارت سیستم به محیط در شب زمانیکه دمای کلکتور کمتر از منبع ذخیره است، جلوگیری می‌کند. سیستم‌های ترموسیفون همچنین می‌توانند برای مسیرهای بسته طراحی شوند به نحوی که انتقال حرارت از طریق سیال خاصی انجام شود. کاربرد این سیستمها در جاهایی است که خطر یخ زدگی وجود دارد.

سیستم‌های کلکتور- منبع ذخیره یکپارچه (ICS) ساده ترین آبگرمکن‌های خورشیدی می‌باشند. در این سیستم‌ها تانک ذخیره و کلکتور دو قسمت جدا از هم نیستند و یکی هستند. آب سرد به طور مستقیم به کلکتور متصل است و توسط خورشید گرم می‌شود. برخلاف سیستم‌های دیگر، تا زمانیکه مصرفی وجود نداشته نباشد آب گرم داخل کلکتور باقی می‌ماند سپس به طور مستقیم از کلکتور مورد مصرف قرار می‌گیرد. سیستم‌های ICS به منبع‌های ذخیره بزرگتری (برای بالا بردن قابلیت جذب) نسبت به سیستم‌های معمولی نیاز دارند، همین امر نیز از سیستم در برآبریخ زدگی محافظت می‌کند.

اصلاحات زیادی بر روی قسمت‌های مختلف سیستم‌های ICS انجام گرفته است تا بتوان حداکثر میزان جذب انرژی تشعشعی و کمترین افت حرارتی را به طور همزمان برای سیستم اکتساب نمود [۲]. از جمله مسائلی که توسط محققان برای جلوگیری از افت حرارتی سیستم مورد بررسی قرار گرفته است می‌توان به استفاده از روکش دهانه ورودی سیستم (Glazing)، عایقکاری قسمت‌های مختلف سیستم از جمله منبع، ایجاد خلاً در فضای بین منبع و روکش ورودی سیستم اشاره کرد. همچنین با استفاده از صفحه‌های جدا کننده (Baffle) در منبع، طبقه بندی حرارتی آب داخل آن و در نتیجه دمای آب خروجی را افزایش داده اند. همچنین تحقیقات گستردۀ ای بر روی شکل، جهت و محل منبع و منعکس کننده انجام شده است. به عنوان مثال، جهت قرار گرفتن سیستم‌های ICS در راستای شمالی-جنوبی یا شرقی- غربی و اثر آن بر نحوه عملکرد دستگاه در [۳] و عملکرد سیستم با استفاده از دو منبع ذخیره در [۴] بررسی شده اند. شکلهای مختلفی برای منعکس کننده سیستم‌های ICS بررسی شده اند مانند سهمی مرکب (Involute) [۸] و منعکس کننده‌های متقارن و نامتقارن [۴۹]. مرور کاملتری بر سیستم ICS و تحقیقات انجام شده بر روی آن در فصل بعدی ارائه شده است.

تا کنون کارهای انجام شده بر روی سیستم‌های ICS به صورت ساخت سیستم‌های پیشنهادی و آزمایش آنها در محیط واقعی بوده است. اما این کار پر هزینه است و آزمایش کامل سیستم در طول مدت سال به زمان زیادی احتیاج دارد. همچنین ساخت منعکس کننده به شکل منحنی‌های پیشنهادی، مستلزم دقت زیادی است و هزینه بالایی در بر دارد. به همین دلیل در این پایان نامه روشی برای شبیه سازی کامپیوتری سیستم‌های ICS مبتنی بر روش پیمایش نور (Ray Tracing) پیشنهاد شده است.

در فصل سوم ابتدا به ارائه روش پیشنهادی پرداخته شده است و سپس شبیه سازی کامپیوتری چند نمونه از سیستم‌های ICS با منعکس کننده‌های پیچدار و سهمی مرکب با زاویه‌های دریافت مختلف انجام می‌گیرد. در سیستم‌های ICS بررسی شده در تحقیقات گذشته برای منعکس کننده از ورقه‌های فلزی قابل شکل دادن به صورت منحنی‌های مختلف، استفاده می‌شده است. اما این ورقه‌های فلزی در مقایسه با آینه شبیه ای، ضریب انعکاس پایینتری دارند که باعث کاهش انرژی منعکس شده به سوی منبع و در نتیجه کاهش کارایی سیستم می‌شود. به این دلیل ایده استفاده از آینه شبیه ای منحنی به عنوان منعکس کننده در سیستم‌های ICS در این پایان نامه ارائه می‌شود. اما ساخت منحنی‌های شبیه بسیار پرهزینه تر از ساخت منحنی‌های فلزی است. برای حل این مشکل می‌توان منحنی منعکس کننده را با استفاده از تعدادی پاره خط تقریب زد. به همین منظور سیستم‌هایی با استفاده از تعداد مختلفی از

آینه های تخت در فصل ۳ شبیه سازی شده اند. استفاده از آینه های شیشه ای تخت دارای مزایایی از قبیل کم هزینه بودن ساخت، تولید انبوه و حمل و نقل ساده تر نسبت به سیستمهای با منعکس کننده های منحنی فلزی میباشد: نتایج این شبیه سازیها به صورت نمودارها و جدولهای مختلفی نشان داده شده که در انتهای فصل ۳ مقایسه و نتیجه گیری میشوند.

در فصل چهارم از الگوریتم ژنتیک برای بهینه سازی اندازه و ساختار قرار گرفتن ۱۰ تکه آینه تخت شیشه ای منعکس کننده سیستم ICS، استفاده شده است. در این پایان نامه، کل اثری جذب شده توسط منبع آبگرم در طول روز به عنوان معیار بهینه سازی سیستمهای ICS توسط الگوریتم ژنتیک انتخاب شده است که توسط روش شبیه سازی فصل ۳ محاسبه میشود. نمودار و جدولهای مربوط به نحوه عملکرد سیستمهای تولید شده توسط الگوریتم ژنتیک در انتهای فصل ۴ مورد بررسی قرار گرفته اند. در فصل پنجم از کارهای انجام شده در طول این پایان نامه نتیجه گیری میشود و پیشنهاداتی برای ادامه کارهای تحقیقاتی بر روی سیستمهای ICS ارائه میشود.

فصل ۲

سیستم‌های آبگرمکن خورشیدی کلکتور- منبع ذخیره یکپارچه

۱-۲ تاریخچه سیستم‌های ICS

اخيراً در [۲] تاریخچه کاملی از سیر تکاملی سیستم‌های ICS منتشر شده است که خلاصه ای از آن در این بخش ذکر می‌شود. اولین سیستم‌های آبگرمکن خورشیدی Integrated Collector- (ICS) Storage گرم شدن آب قرار می‌گرفتند. این عمل در برخی از مزارع و دامداریهای جنوب غربی کشور آمریکا در قرن ۱۹ میلادی انجام می‌گرفت. اولین آبگرمکن خورشیدی یک نوع ICS بود که دارای امتیاز انحصاری در سال ۱۸۹۱ بود. این آبگرمکن میتوانست از ماه آوریل تا اکتبر در ایالت مریلند در آمریکای شرقی مورد استفاده قرار گیرد، و در روزهای آفتابی آبی با دمای بالاتر از ۳۸ درجه سانتیگراد را تولید کند. این سیستم شامل چهار منبع استوانه ای ساده با وزن زیاد، ساخته شده از آهن گالوانیزه به رنگ سیاه بود که در یک محفظه چوبی عایق شده توسط ورقهای از پشم و نمد قرار می‌گرفت و یک شیشه به عنوان روکش دهانه ورودی بر روی کل سیستم نصب می‌شد. تا سال ۱۹۱۱ دوازده طرح از ICS در کشور آمریکا ثبت اختراع شد. اما تعداد کمی از طرحها از نظر تجاری موفق بودند. طراحان اولیه در زمان قدیم سیستم ICS را به طور سیستماتیک مورد مطالعه قرار ندادند. در سال ۱۹۳۶ اولین مطالعه با جزئیات را در مورد سیستم‌های ICS با حفاظ و بدون حفاظ، شامل یک یا چند منبع در دانشگاه "Agricultural Experimental Station" انجام شد. به هر حال کشف گاز طبیعی و میدانهای نفتی به همراه هم و همچنین ترویج و کمکهای مالی مناسب بر روی این منابع انرژی، تحقیقات جدی در زمینه سیستم‌های ICS را در کشور آمریکا از رونق انداخت و تحقیقات تا سال ۱۹۷۰ متوقف ماندند.